

Andrzej Kostecki, Krzysztof Żuławiński

*Instytut Nafty i Gazu – Państwowy Instytut Badawczy*

## Modelowanie i migracja sekcji czasowych zero-offsetowych w ośrodkach TTI metodą pseudospektralną

W publikacji przedstawiono pseudospektralną metodę modelowania czasowych sekcji zero-offsetowych w anizotropowych ośrodkach TTI (*Tilted Transverse Isotropy*), opartą na jednostronnym pseudoakustycznym równaniu falowym. Równanie pseudoakustyczne wyprowadzono z dokładnej formuły dyspersyjnej dla ośrodka TTI. Rozpatrzone zostały obydwa przypadki akwizycji pomiarów, to jest „pod upad” i „z upadem” dla antyklinalnego modelu TTI.

Słowa kluczowe: anizotropia poprzeczna, równanie falowe – pseudoakustyczne, metoda pseudospektralna, migracja sejsmiczna.

### Modeling and migration of zero-offset time sections in TTI media by pseudospectral method

In this paper we present a pseudospectral method of the modeling of zero-offset seismic time-sections in anisotropic media of the TTI (*Tilted Transverse Isotropy*) type, based on one-wave pseudoacoustic equation. This equation was derived from a precise dispersion relation for 2D TTI media. Both cases for the acquisition of data along directions for „up-dip” and „down-dip” for two-dimensional anticlinal model TTI were considered. Obtained results were verified by depth migration MG(F-K) in wave number ( $k$ ) – frequency ( $f$ ) domain.

Key words: transverse isotropy, wave equation – pseudoacoustic, pseudospectral method, seismic migration.

#### Wprowadzenie

Propagacja fal sprężystych w ośrodkach anizotropowych opisywana jest pełnym równaniem falowym w konsekwencji spełniania prawa Hooke’a i równania ruchu [3, 7, 8, 9, 14, 16, 17, 20].

W ostatnich latach obserwuje się wyraźną tendencję do uproszczenia teorii i posługiwania się tzw. pseudoakustycznymi równaniami dla fal podłużnych [1, 2], które dostarczają praktycznych sposobów obliczania pola falowego poprzez adaptację wyrażen dla prędkości fazowej w ośrodkach VTI (*Vertical Transverse Isotropy*) i TTI (*Tilted Transverse Isotropy*) [4, 5, 6, 18, 19]. Podstawowym założeniem dla równania

pseudoakustycznego jest przyjęcie prędkości fal poprzecznych  $V_{sv} = 0$ .

W niniejszej publikacji zaproponowano nowy sposób obliczania pola falowego w ośrodkach anizotropowych TTI dla szczególnego przypadku akwizycji, tj. zero-offsetowej, odpowiadającej w praktyce zsumowaniu pola falowego – zsumowanym sekcjom czasowym. Sposób ten bazuje na ścisłym rozwiązaniu dyspersyjnej relacji dla modelu TTI. W celu weryfikacji uzyskanych wyników zastosowano migrację MG(F-K) w dziedzinie liczb falowych ( $k$ ) i częstotliwości ( $f$ ) [10].

Podstawowe równania

W dwuwymiarowym (2D), izotropowym i jednorodnym ośrodku, z prędkością fal podłużnych  $V_p$ , jednostronne równanie falowe zostało wyrażone następująco:

$$\frac{\partial P(k_x, k_z, t)}{\partial t} = i \omega P(k_x, k_z, t) \quad (1)$$

gdzie  $P(k_x, k_z, t)$  jest polem falowym wyrażonym w dziedzinie liczb falowych  $k_x$  i  $k_z$  (poziomych i pionowych) w konsekwencji zastosowania podwójnej transformacji Fouriera w odniesieniu do pola falowego  $P(x, z, t)$ , gdzie  $(x, z, t)$  oznacza dziedzinę czasu i przestrzeni.

$$P(x, z, t) = \sum_{k_x} \sum_{k_z} P(k_x, k_z, t = 0) \exp[i(k_x x + k_z z + \omega t)] \quad (2)$$

W zależności (1)  $i = \sqrt{-1}$  kątowna, czasowa częstość  $\omega$  wyraża się relacją dyspersyjną:

$$\omega = \pm V_p (k_x^2 + k_z^2)^{1/2} \quad (3)$$

obowiązującą w izotropowym ośrodku. W kartezjańskim układzie współrzędnych z osią  $z$  skierowaną „w dół” i reprezentującą głębokość ośrodka, znak (+) w relacji (3) oznacza, że równanie (1) opisuje falę propagującą ku górze, tj. w kierunku powierzchni  $z = 0$ . W niejednorodnym, izotropowym ośrodku można zastosować pseudospektralną metodę i wówczas równanie (1) przybiera formę:

$$\frac{\partial P(x, z, t)}{\partial t} = i V_p(x, z) F^{-1} \left\{ (k_x^2 + k_z^2)^{1/2} F[P(x, z, t)] \right\} \quad (4)$$

gdzie  $F(x \rightarrow k_x, z \rightarrow k_z)$  i  $F^{-1}(k_x \rightarrow x, k_z \rightarrow z)$  są operatorami reprezentującymi podwójną transformację Fouriera z domeny  $(x, z)$  do dziedziny  $(k_x, k_z)$  i na odwrót.

Poszukiwane pole falowe  $P(x, z, \Delta t)$  w czasie  $t = \Delta t$  może być aproksymowane przez ucięty szereg Taylora dla  $t = 0$ :

$$P(x, z, \Delta t) = \sum_{n=0}^3 \frac{\partial^n P(t=0)}{\partial t^n} \frac{(\Delta t)^n}{n!} \quad (5)$$

Poprawność działania algorytmów i programów propagacji pola falowego zero-offsetowego w ośrodku TTI została sprawdzona na modelu antyklinalnym (rysunek 1) zawierającym trzy antyklinalnie ułożone warstwy przykryte formacją poziomą. Obliczono 2 przypadki modelu TTI, jeden dla kąta upadu  $+\theta$  („z upadem” – rysunek 2) i drugi dla kąta  $-\theta$  („pod upad” – rysunek 3). Przyjęto parametry Thomsena:  $\varepsilon = 0,3$ ,  $\delta = 0,2$ . Poprawność obliczeń została zweryfikowana

Przyjęty w założeniu sygnał sejsmiczny w czasie  $t = 0$  jest początkowym polem falowym, a jego pierwsza pochodna dla tego czasu może być uzyskiwana z relacji (4). Schemat trzeciego rzędu jest stabilny [7].

Zgodnie z koncepcją Loventhala [13] zero-offsetowa, czasowa sekcja może zostać otrzymana w przypadku jednocześnie wzbudzonych granic sejsmicznych (granic niejednorodności), gdy prędkość propagacji jest równa podwojonej prędkości rzeczywistej w ośrodku.

W anizotropowym ośrodku TI (*Transverse Isotropy*) czasowa częstość  $\omega_a$  jest definiowana jako wartość własna relacji dyspersji dla danego typu ośrodka. Rozważmy więc model TTI (monoklinalnie nachylona płaszczyzna izotropii pod kątem  $\theta$  względem horyzontalnej płaszczyzny pomiaru). W tym przypadku uzyskujemy z dyspersyjnej relacji pełnego systemu równań sprężystych równanie dla czasowej częstości  $\omega_a$ :

$$\omega_a^4 - \omega_a^2 F(\pm) + G(\pm) = 0 \quad (6)$$

którego rozwiązanie dla fali propagującej ku powierzchni  $z = 0$  jest następujące:

$$\omega_a = \frac{1}{\sqrt{2}} \left\{ F(\pm) + [F^2(\pm) - 4G(\pm)]^{1/2} \right\}^{1/2} \quad (7)$$

gdzie:

$$F(\pm) = (d_{11} + d_{55})k_x^2 + (\pm)2k_x k_z (d_{15} + d_{35}) + (d_{33} + d_{55})k_z^2 \quad (8)$$

$$G(\pm) = (d_{11}d_{55} - d_{15}^2)k_x^4 + (\pm)2k_x^3 k_z (d_{35}d_{11} - d_{15}d_{31}) + [d_{11}d_{33} + 2(d_{15}d_{35} - d_{13}d_{55}) - d_{13}^2]k_x^2 k_z^2 + (\pm)2k_x k_z^3 (d_{15}d_{33} - d_{35}d_{13}) + (d_{55}d_{33} - d_{53}^2)k_z^4 \quad (9)$$

W relacjach (7–9) znormalizowane względem gęstości składowe  $d_{ij}$  tensora sprężystości prezentowane są w artykule A. Kosteckiego [11]. W formułach (6–9) znak (+) odnosi się do przypadku akwizycji wzdłuż osi  $x$  w kierunku dodatniej osi, tj. „z upadem”, a znak (–) oznacza kierunek „pod upad” monoklinalnie nachylonego ośrodka o poprzecznej izotropii.

Testy

zastosowaniem migracji MG(F-K) [10] w dziedzinie liczb falowych i częstotliwości. W obydwu przypadkach uzyskano założone modele geometryczne (rysunki 4 i 5); otrzymane obrazy nie odbiegają od modelu i praktycznie się nie różnią.

Aby unaocznić możliwe skutki nietrafnego doboru parametrów migracji, pokazano wynik zastosowania niewłaściwego kąta  $\theta$ . Wymodelowaną sekcję dla kąta  $\theta = -60^\circ$  migrowano, stosując  $\theta = 60^\circ$ , przy niezmiennych pozostałych parametrach

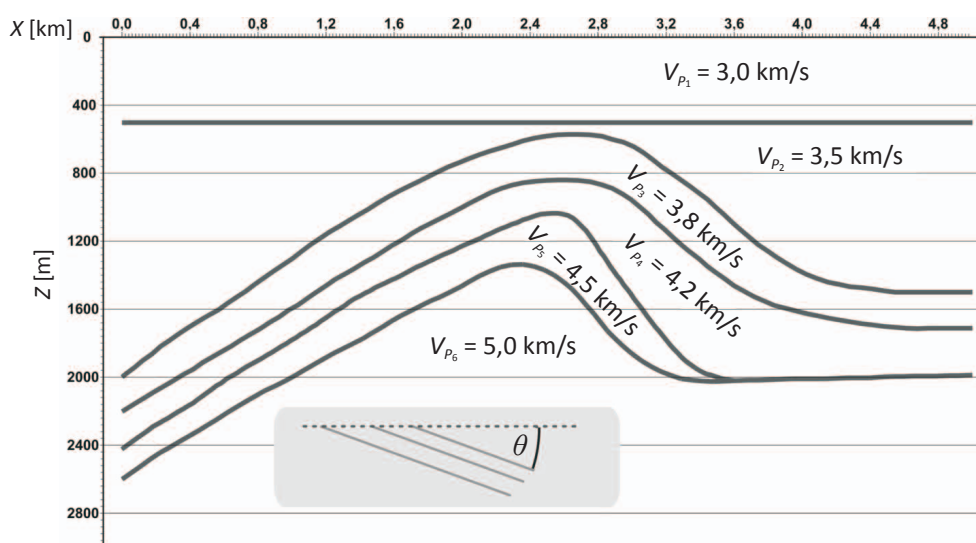
anizotropii (rysunek 6) i na odwrót (rysunek 7). Zastosowanie niewłaściwego parametru migracji MG(F-K) w obydwu przypadkach skutkuje deformacją założonego modelu, widoczną przez porównanie rysunku 1 i rysunków 4 i 5 z rysunkami 6 i 7.

Rysunek 8 reprezentuje szczególny przypadek TTI modelu, gdy  $\theta = 90^\circ$ , tj. model HTI (*Horizontal Transverse Isotropy*). Głębokościowa migracja MG(F-K) (rysunek 9) czasowej sekcji z rysunkiem 8 prawidłowo odwzorowuje założony ośrodek.

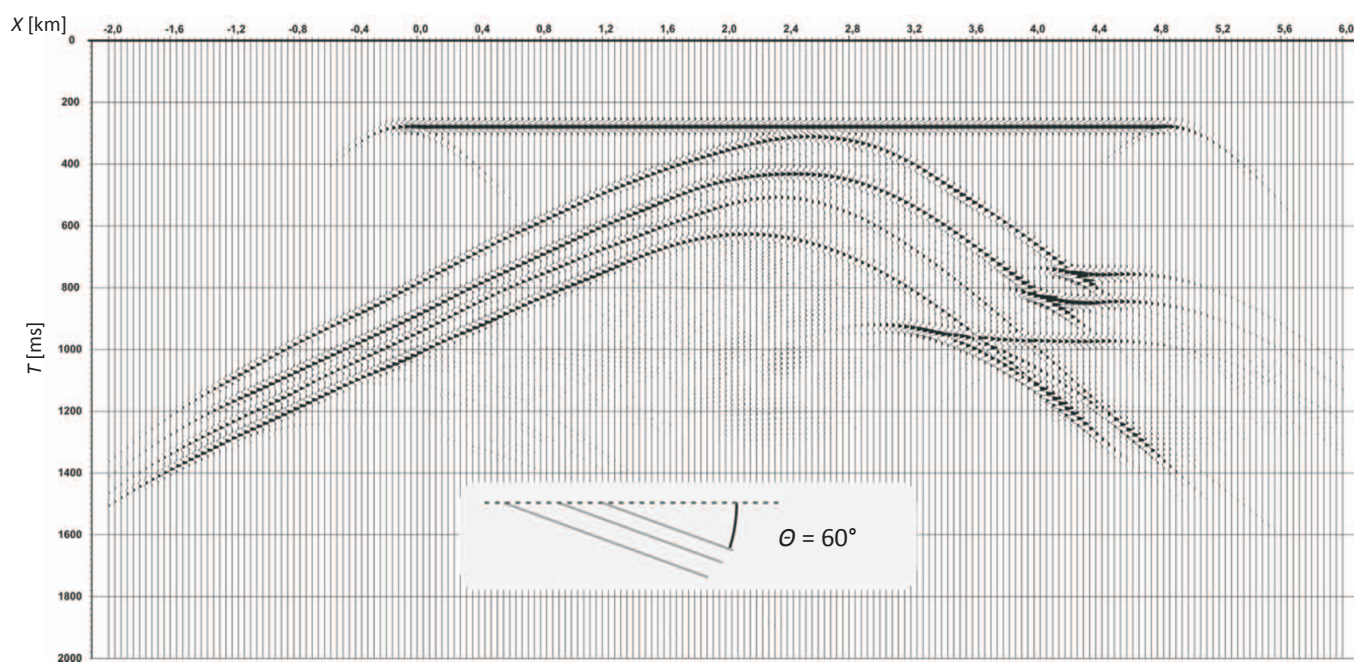
### Wnioski

Przedstawiona propozycja algorytmiczna modelowania pola falowego zero-offset w ośrodkach anizotropowych typu TTI bazuje na równaniu dyspersyjnym uzyskanym z pełnego układu równań sprężystych w dwuwymiarowym ośrodku. Wyznaczone z równania dyspersyjnego własne

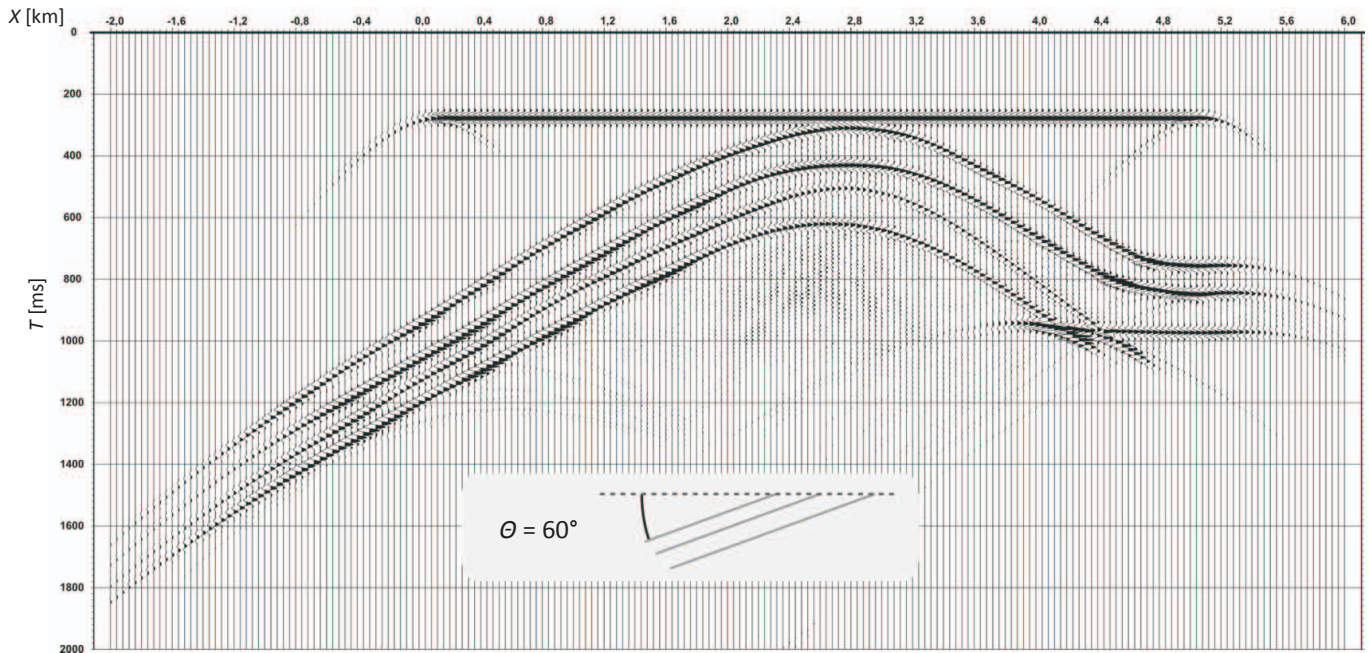
częstości czasowe posłużyły do skonstruowania sekcji czasowych zero-offsetowych. Weryfikacja poprawności algorytmów przy użyciu migracji MG(F-K) potwierdziła prawidłowość działania algorytmów i programów modelowania pola falowego.



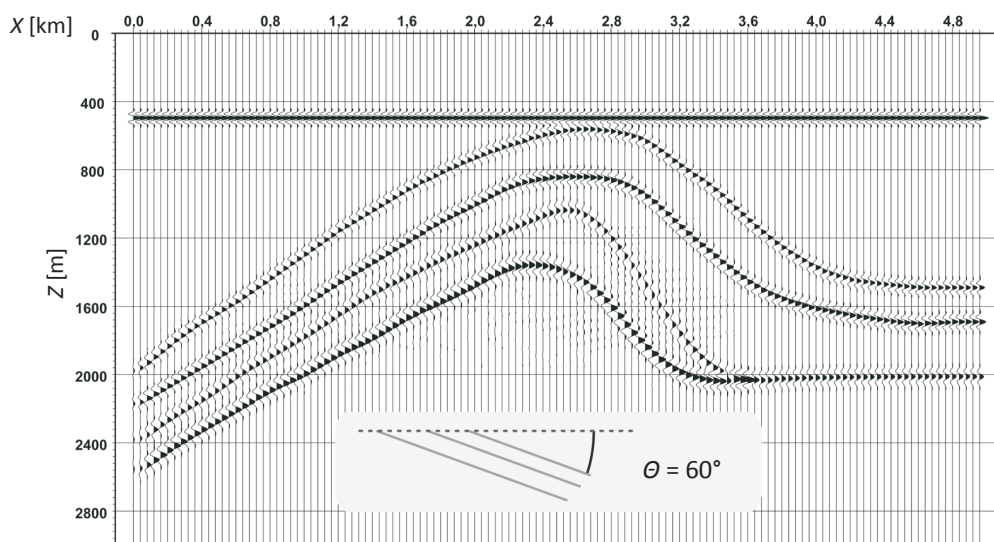
Rys. 1. Model geometryczno-prędkościowy antykliny typu TI (*Transverse Isotropy*). Parametry Thomsena:  $\varepsilon = 0,3$ ;  $\delta = 0,2$



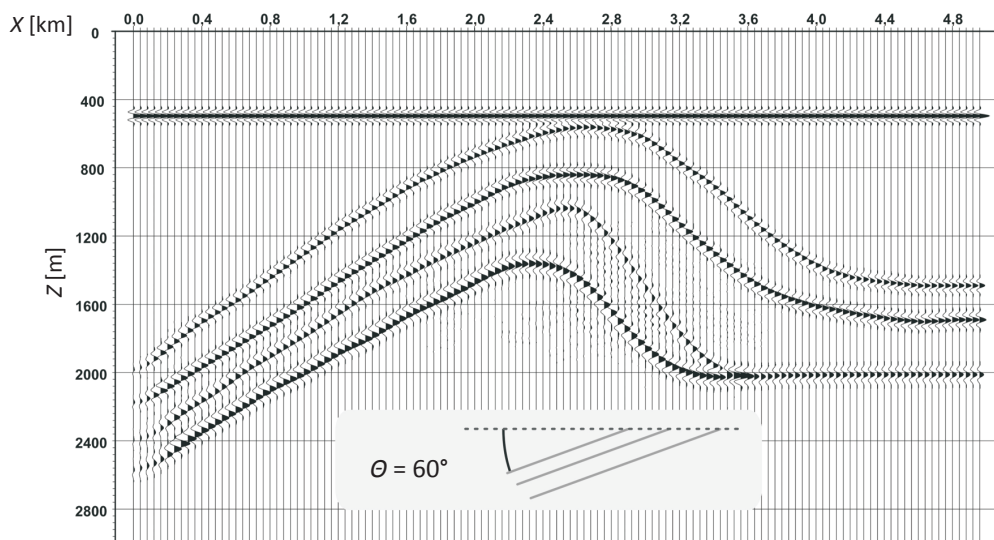
Rys. 2. Sekcja czasowa zero-offsetowa dla modelu TTI  $\theta = 60^\circ$ . Parametry:  $\varepsilon = 0,3$ ;  $\delta = 0,2$



Rys. 3. Sekcja czasowa zero-offsetowa dla modelu TTI  $\theta = -60^\circ$ . Parametry:  $\varepsilon = 0,3$ ;  $\delta = 0,2$



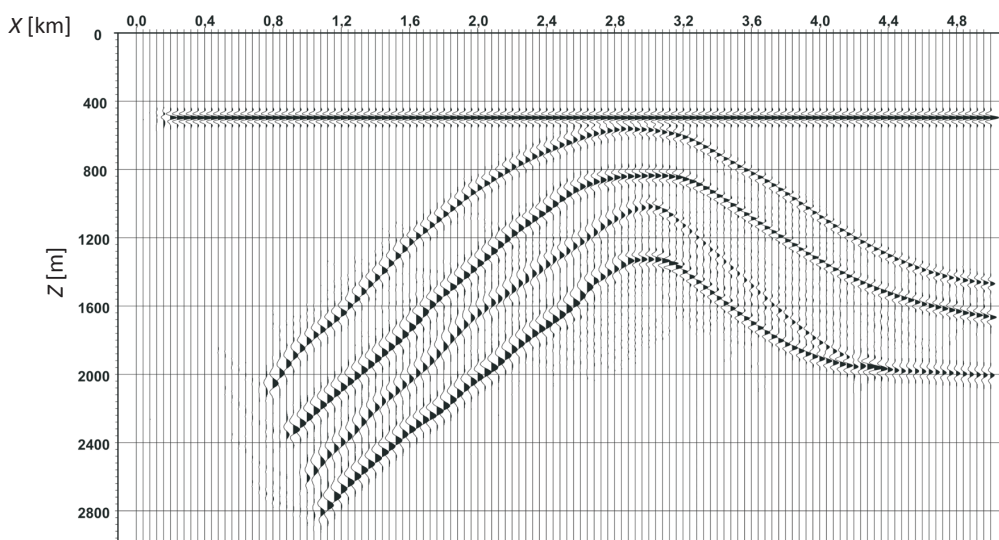
Rys. 4. Migracja głębokościowa zero-offsetowa dla TTI  $\theta = 60^\circ$  z rysunku 2



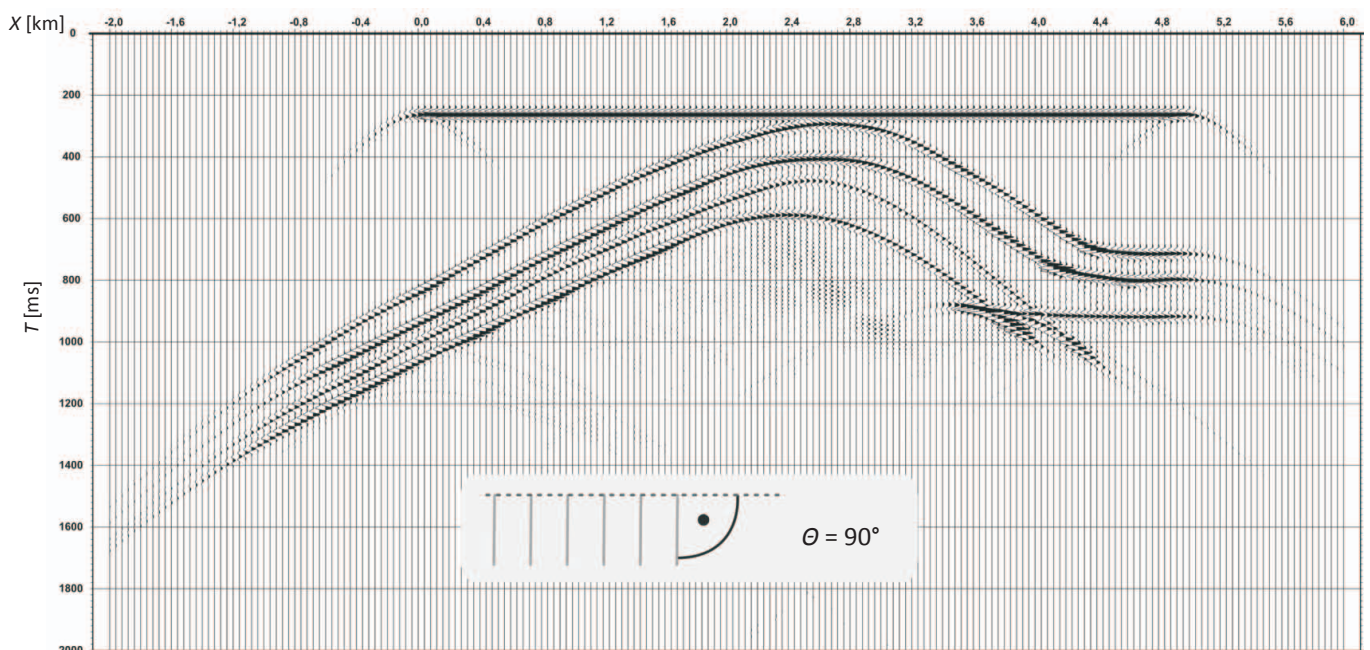
Rys. 5. Migracja głębokościowa zero-offsetowa dla TTI  $\theta = -60^\circ$  z rysunku 3



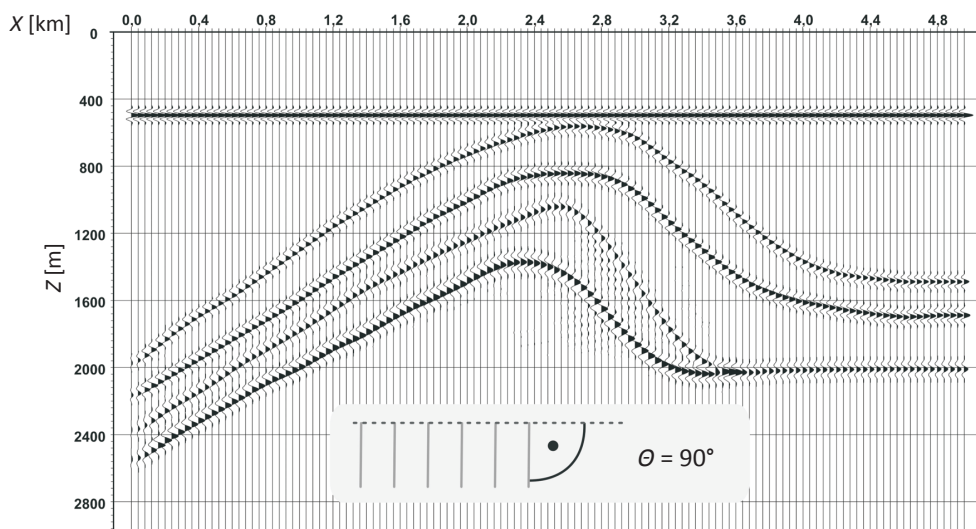
Rys. 6. Migracja zero-offsetowa dla modelu TTI,  $\theta = -60^\circ$  sekcji czasowej TTI,  $\theta = 60^\circ$  z rysunku 2



Rys. 7. Migracja zero-offsetowa dla modelu TTI,  $\theta = 60^\circ$  sekcji czasowej TTI,  $\theta = -60^\circ$  z rysunku 3



Rys. 8. Sekcja czasowa zero-offsetowa dla HTI,  $\theta = 90^\circ$



Rys. 9. Migracja zero-offsetowa dla modelu HTI,  $\theta = 90^\circ$  z rysunku 8

Prosimy cytować jako: Nafta-Gaz 2014, nr 12, s. 855–860

Artykuł nadesłano do Redakcji 25.09.2014 r. Zatwierdzono do druku 14.11.2014 r.

Artykuł powstał na podstawie umowy o dofinansowanie nr NR09-0025-10/2010 na podstawie decyzji nr 0962/R/T02/2010/10 z dnia 20.07.2010 r. Projekt był finansowany w ramach POIG (Program Operacyjny Innowacyjna Gospodarka).

### Literatura

- [1] Alkhalifah T.: *Acoustic approximation for processing in transversely isotropic media*. Geophysics 1998, vol. 63, pp. 623–631.
- [2] Alkhalifah T.: *An acoustic wave equation for anisotropic media*. Geophysics 2000, vol. 65, pp. 1239–1250.
- [3] Cerveny W.: *Seismic ray theory*. Cambridge University Press 2001.
- [4] Du X., Fletcher R., Fowler P. J.: *A new pseudo-acoustic wave equation for TI media*. 70th Annual International Conference and Exhibition, EAGE, Extended Abstracts, H033, 2008.
- [5] Duvoneck E., Bakker P. M.: *Stable P-wave modeling for reverse time migration in tilted media*. Geophysics 2011, vol. 76, no. 2, pp. 565–575, doi: 10.1190/1.3533964.
- [6] Fletcher R., X. Du., Fowler P. J.: *Reverse time migration in tilted transversely isotropic (TTI) media*. Geophysics 2009, vol. 74, no. 6, WCA-179–WCA-187, doi: 10.1190/1.3269902.
- [7] Gazdag I.: *Modeling of the acoustic wave equation with transform methods*. Geophysics 1981, vol. 46, pp. 854–859.
- [8] Kelly K. R., Ward R., Treitel S., Alford R.: *Synthetic seismograms. A finite difference approach*. Geophysics 1976, vol. 41, pp. 2–27.
- [9] Kosloff D., Filho Q., Tessmer E., Behle A.: *Numerical solution of the acoustic and elastic wave equation by new rapid extension method*. Geophysical Prospecting 1989, vol. 37, pp. 983–994.
- [10] Kostecki A., Polchlopek A.: *Generalized migration in frequency – wavenumber domain  $MG(F-K)$  in anisotropic media*. Acta Geophysica 2013, vol. 61, no. 3, pp. 624–637.
- [11] Kostecki A.: *Algorytm migracji  $MG(F-K)$  dla anizotropowego osrodka typu HTI (Horizontal Transversely Isotropy)*. Nafta-Gaz 2010, nr 2, s. 81–84.
- [12] Kostecki A.: *Tilted Transverse Isotropy*. Nafta-Gaz 2011, nr 11, s. 769–776.
- [13] Loventhal D., Lu L., Robertson R., Sherwod I.: *The wave equation applied to migration*. Geophysical Prospecting 1976, vol. 24, pp. 380–399.
- [14] Marfurt K.: *Accuracy of finite-difference and finite-element modeling of the scalar and elastic wave equations*. Geophysics 1984, vol. 49, pp. 533–549.
- [15] Tsvankin I., Gaiser J., Grechka V., van der Baan M., Thomsen L.: *Seismic anisotropy in exploration and reservoir characterization: An overview*. Geophysics 2010, vol. 75, pp. 75A15–75A29.
- [16] Virieux J.: *P-SV wave propagation in heterogeneous media; velocity-stress finite-difference method*. Geophysics 1986, vol. 51, pp. 889–901.
- [17] Yang D., Liu E., Zhang Z., Teng J.: *Finite-difference modeling in two-dimensional anisotropic media using a flux-corrected technique*. Geophysical Journal Int. 2002, vol. 148, pp. 320–328.
- [18] Zhan G., Pestana R. C., Stoffa P. L.: *Decoupled equations for reverse time migration in tilted transversely isotropic media*. Geophysics 2012, vol. 77, no. 2, pp. T37–T45, doi: 10.1190/GEO2011-175.1.
- [19] Zhang L., Rector III J. W., Hoversten M.: *Finite-difference modelling of wave propagation in acoustic tilted TI media*. Geophysical Prospecting 2005, vol. 53, pp. 843–852.
- [20] Zhu J., Dorman J.: *Two-dimensional, three-component wave propagation in a transversely isotropic medium with arbitrary-orientation-finite element modeling*. Geophysics 2000, vol. 65, pp. 934–942.



Prof. dr hab. inż. Andrzej KOSTECKI  
 Profesor zwyczajny  
 Instytut Nafty i Gazu – Państwowy Instytut Badawczy  
 ul. Lubicz 25A  
 31-503 Kraków  
 E-mail: [andrzej.kostecki@inig.pl](mailto:andrzej.kostecki@inig.pl)



Mgr inż. Krzysztof ŻUŁAWIŃSKI  
 Starszy specjalista badawczo-techniczny; kierownik  
 Zakładu Sejsmiki.  
 Instytut Nafty i Gazu – Państwowy Instytut Badawczy  
 ul. Lubicz 25A  
 31-503 Kraków  
 E-mail: [krzysztof.zulawinski@inig.pl](mailto:krzysztof.zulawinski@inig.pl)